

5/2/79

9 - Moments Multipolaires d'une distribution de charges, de courants et de magnétisation.

But de ce § : Etudier le champ rayonné au loin par des sources caractérisées par leur densité de charges, leurs courants et leur magnétisation, et dont on se donne la dépendance en \vec{r} et en t .

Montrer que ce champ peut être analysé en ondes multipolaires et que l'amplitude de chacune de ces ondes est reliée à un paramètre caractéristique des sources, qu'on appelle un moment multipolaire.

(a) Equations de Maxwell en présence des sources.

(i) Les sources

- $\rho(\vec{r}, t)$: densité de charges. (Pas de polarisation)
- $\vec{J}_c(\vec{r}, t)$: courant de conduction.
- $\vec{M}(\vec{r}, t)$: magnétisation.
- Courant total $\vec{J}(\vec{r}, t) = \vec{J}_c(\vec{r}, t) + \nabla \times \vec{M}(\vec{r}, t)$ (VI-1)

Problème physique en arrière plan : sources associées à un électron décrit par le spineur à 2 composantes $\psi(\vec{r}, t)$

$$\begin{cases} \rho(\vec{r}, t) = \psi^\dagger(\vec{r}, t) \psi(\vec{r}, t) \\ \vec{J}_c(\vec{r}, t) = \frac{q\hbar}{2mi} [\psi^\dagger(\vec{\nabla}\psi) - (\vec{\nabla}\psi^\dagger)\psi] \\ \vec{M}(\vec{r}, t) = \frac{e\hbar}{k} \psi^\dagger(\vec{r}, t) \vec{S} \psi(\vec{r}, t) \end{cases} \quad (VI-2)$$

(ii) Equations de Maxwell.

- $\vec{\nabla} \cdot \vec{B} = 0$ (VI-3-a)
- $\vec{\nabla} \cdot \vec{E} = \frac{\rho}{\epsilon_0}$ (VI-3-b)
- $\vec{\nabla} \times \vec{E} = -\frac{\partial \vec{B}}{\partial t}$ (VI-3-c)
- $c^2 \vec{\nabla} \times \vec{B} = \frac{1}{\epsilon_0} \vec{J} + \frac{\partial \vec{E}}{\partial t}$ (VI-3-d)

De (VI-3-b) et (VI-3-d), on déduit l'équation de continuité qui exprime la conservation de la charge

$$\vec{\nabla} \cdot \vec{J} + \frac{\partial \rho}{\partial t} = 0 \quad (VI-4)$$

- Elimination de \vec{E} $(\Delta - \frac{1}{c^2} \frac{\partial^2}{\partial t^2}) \vec{B} = -\mu_0 \vec{\nabla} \times \vec{J}$ (VI-5)

- Elimination de \vec{B} $(\Delta - \frac{1}{c^2} \frac{\partial^2}{\partial t^2}) \vec{E} = \frac{1}{\epsilon_0} [\vec{\nabla} \rho + \frac{1}{c^2} \frac{\partial}{\partial t} \vec{J}]$ (VI-6)

(iii) Régime sinusoïdal

- On suppose que toutes les sources sont monochromatiques :

$$G(\vec{r}, t) = G^{(+)}(\vec{r}) e^{-i\omega_0 t} + c.c. \quad (VI-7)$$

Si l'on considère les solutions des équations de Maxwell correspondant à un régime forcé, tous les champs ont aussi la même forme. les équations (VI-5, 6) deviennent :

$$(\Delta + k_0^2) \vec{B}^{(+)} = -\mu_0 \vec{\nabla} \times \vec{J}^{(+)} \quad (VI-8)$$

$$(\Delta + k_0^2) \vec{E}^{(+)} = \frac{1}{\epsilon_0} [\vec{\nabla} \rho^{(+)} - \frac{i\omega_0}{c^2} \vec{J}^{(+)}] \quad (VI-9)$$

- Remarque : une manière commode d'éliminer les régimes transitoires et de ne conserver que le régime forcé consiste à introduire adiabatiquement les sources en remplaçant ω_0 par $\omega_0 + i\epsilon$ (ϵ : infiniment petit)

$$e^{-i\omega_0 t} \rightarrow e^{-i(\omega_0 + i\epsilon)t} = e^{-i\omega_0 t} e^{-\epsilon t} \quad (VI-10)$$

Le facteur de branchement $e^{\epsilon t}$, nul pour $t = -\infty$, croit lentement vers 1 pour $t = 0$. Si l'on part d'un champ nul pour $t < -\frac{1}{\epsilon}$, on aboutit à $t = 0$ au régime forcé.

(iv) Transformée de Fourier

$$\vec{G}^{(+)}(\vec{r}) \longleftrightarrow \vec{G}^{(+)}(\vec{k}) \quad (VI-11)$$

(Pour simplifier les notations, on n'écrit plus le ⁽⁺⁾). (VI-8, 9) deviennent :

$$(k_0^2 - k^2) \vec{\beta} = -i\mu_0 \vec{k} \times \vec{J} \quad (VI-12)$$

$$(k_0^2 - k^2) \vec{E} = \frac{i}{\epsilon_0} \left[\vec{k} \rho - \frac{k_0}{c} \vec{J} \right] \quad (VI-13)$$

Quant à l'équation de continuité (VI-4), elle devient :

$$\vec{k} \cdot \vec{J} - \omega_0 \rho = 0 \quad (VI-14)$$

(v) Parties longitudinale et transversale des termes sources.

- Soit $\vec{\beta}(\vec{k})$ le terme au 2^{ème} membre (terme source) de l'équation (VI-12) donnant $\vec{\beta}$.

$$\vec{\beta}(\vec{k}) = -i\mu_0 \vec{k} \times \vec{J}(\vec{k}) \quad (VI-15)$$

$\vec{\beta}(\vec{k})$ est transverse (\perp à \vec{k}). Ceci est normal puisque $\vec{\beta}$ est toujours transverse.

- Soit $\vec{\mathcal{C}}(\vec{k})$ le terme analogue pour \vec{E} (cf équation VI-13).

$$\vec{\mathcal{C}}(\vec{k}) = \frac{i}{\epsilon_0} \left[\vec{k} \rho(\vec{k}) - \frac{k_0}{c} \vec{J}(\vec{k}) \right] \quad (VI-16)$$

On peut séparer les parties longitudinale $\vec{\mathcal{C}}_{||}$ et transversale $\vec{\mathcal{C}}_{\perp}$ de $\vec{\mathcal{C}}$:

$$\vec{\mathcal{C}} = \underbrace{\frac{\vec{k}}{k^2} \vec{k} \cdot \vec{\mathcal{C}}}_{\vec{\mathcal{C}}_{||}} + \underbrace{\frac{\vec{k}}{k^2} \times (\vec{\mathcal{C}} \times \vec{k})}_{\vec{\mathcal{C}}_{\perp}} \quad (VI-17)$$

- D'après (VI-16), on trouve compte tenu de (VI-14) :

$$\vec{\mathcal{C}}_{||} = \frac{i}{\epsilon_0} (k^2 - k_0^2) \frac{\rho}{k} \vec{n} \quad (VI-18)$$

ce qui reporté dans (VI-13) donne pour $\vec{E}_{||}$

$$\vec{E}_{||} = -\frac{i}{\epsilon_0} \frac{\rho}{k} \vec{n} \quad (VI-19)$$

équation que l'on aurait pu obtenir directement en prenant la T.F. de $\vec{\nabla} \cdot \vec{E} = \frac{\rho}{\epsilon_0}$.
En repassant dans l'espace des \vec{r} , on trouve que $\vec{E}_{||}(\vec{r})$ varie en $\frac{1}{r^2}$ pour r grand et est donc négligeable devant la partie transverse qui varie en $\frac{1}{r}$.

- On trouve de même pour $\vec{\mathcal{C}}_{\perp}$

$$\vec{\mathcal{C}}_{\perp} = -c \frac{k_0}{k} \vec{n} \times \vec{\beta} \quad (VI-20)$$

Au facteur $c \frac{k_0}{k}$ près, $\vec{\mathcal{C}}_{\perp}$ se déduit de $\vec{\beta}$ par une rotation de $-\frac{\pi}{2}$ autour de \vec{n} . Nous nous contenterons donc d'étudier le champ $\vec{\beta}$.

(b) Développement des sources et des champs en états de moment cinétique et de parité bien définis.

- $\vec{\beta}$ et $\vec{\mathcal{C}}$ étant transverse, on peut, pour chaque valeur de k , les développer sur la base $\{ \vec{X}_{JM}(\vec{n}), \vec{Z}_{JM}(\vec{n}) \}$:

$$\vec{\beta}(\vec{k}) = \sum_J \sum_M \left[\beta_{JM}^e(k) \vec{X}_{JM}(\vec{n}) + \beta_{JM}^m(k) \vec{Z}_{JM}(\vec{n}) \right] \quad (VI-21)$$

$$\vec{\mathcal{C}}(\vec{k}) = \sum_J \sum_M \left[\mathcal{C}_{JM}^e(k) \vec{X}_{JM}(\vec{n}) + \mathcal{C}_{JM}^m(k) \vec{Z}_{JM}(\vec{n}) \right] \quad (VI-22)$$

avec

$$\beta_{JM}^e(k) = \int d\Omega_k \vec{X}_{JM}^*(\vec{n}) \cdot \vec{\beta}(\vec{k}) \quad (VI-23)$$

$$\beta_{JM}^m(k) = \int d\Omega_k \vec{Z}_{JM}^*(\vec{n}) \cdot \vec{\beta}(\vec{k}) \quad (VI-24)$$

- Reportons les développements (VI-21) et (VI-22) dans (VI-12). Il vient (en se rappelant qu'il faut remplacer k_0 par $k_0 + i\epsilon$):

$$\beta_{JM}^e(k) = \frac{\delta_{JM}^e(k)}{(k_0 + i\epsilon)^2 - k^2} \quad (VI-25)$$

$$\beta_{JM}^m(k) = \frac{\delta_{JM}^m(k)}{(k_0 + i\epsilon)^2 - k^2} \quad (VI-26)$$

© Comportement asymptotique des champs $\vec{B}(\vec{r})$ et $\vec{E}(\vec{r})$ pour r grand.

- Calculons la contribution à $\vec{B}(\vec{r})$ du terme $\beta_{JM}^e(k) \vec{X}_{JM}(\vec{n})$ du développement (VI-22) lorsqu'on renvoie dans l'espace des \vec{r} .

$$e^{-i\omega_0 t} \int d^3k \beta_{JM}^e(k) \vec{X}_{JM}(\vec{n}) e^{i\vec{k} \cdot \vec{r}} + c.c. \quad (VI-27)$$

Séparons intégration angulaire et radiale en utilisant (VI-25)

$$e^{-i\omega_0 t} \int k^2 dk \frac{\delta_{JM}^e(k)}{(k_0 + i\epsilon)^2 - k^2} \int d\Omega_k e^{i\vec{k} \cdot \vec{r}} \vec{X}_{JM}(\vec{n}) + c.c. \quad (VI-28)$$

D'après (IV-14), la dernière intégrale vaut $4\pi(i)^J j_J(kr) \vec{X}_{JM}(\vec{p})$. On a donc :

$$4\pi(i)^J \underbrace{e^{-i\omega_0 t}}_{\text{Dépendance temporelle}} \underbrace{\vec{X}_{JM}(\vec{p})}_{\text{Dépendance angulaire}} \underbrace{\int_0^\infty k^2 dk \frac{j_J(kr) \delta_{JM}^e(k)}{(k_0 + i\epsilon)^2 - k^2}}_{\text{Dépendance radiale}} + c.c. \quad (VI-29)$$

- Dépendance radiale pour r grand

$$j_J(kr) \underset{r \rightarrow \infty}{\sim} \frac{1}{kr} \sin(kr - J\frac{\pi}{2}) = \frac{1}{2ikr} \left[e^{i(kr - J\frac{\pi}{2})} - e^{-i(kr - J\frac{\pi}{2})} \right] \quad (VI-30)$$

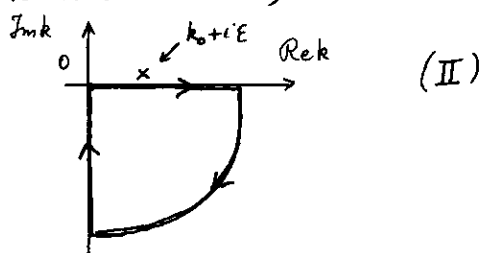
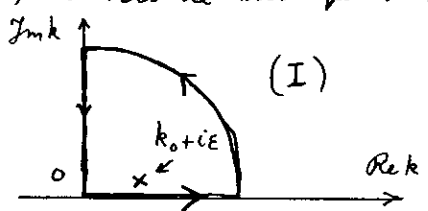
Reportons (VI-30) dans l'intégrale en k de (VI-29). Il vient :

$$\frac{1}{2ir} \left[\underbrace{\int_0^\infty k dk \delta_{JM}^e(k) \frac{e^{i(kr - J\frac{\pi}{2})}}{(k_0 + i\epsilon)^2 - k^2}}_I - \underbrace{\int_0^\infty k dk \delta_{JM}^e(k) \frac{e^{-i(kr - J\frac{\pi}{2})}}{(k_0 + i\epsilon)^2 - k^2}}_{II} \right] \quad (VI-31)$$

- Evaluation des intégrales I et II par la méthode des résidus (on suppose $\delta_{JM}^e(k)$ suffisamment régulière).

$$e^{\pm ikr} = e^{\pm i(\text{Re}k)r} e^{\mp (\text{Im}k)r} \quad (VI-32)$$

Comme $r > 0$, il faut fermer le contour vers le haut pour I ($-\text{Im}k$ doit être < 0) et vers le bas pour II ($\text{Im}k$ doit être < 0)



- Contribution du $1/4$ de cercle : zéro dans les 2 cas

- Contributions du pôle en $k_0 + i\epsilon$

pour (I) : $\frac{i}{4\pi} \delta_{JM}^e(k_0) e^{i(k_0 r - J\frac{\pi}{2})} \quad (VI-33)$

pour (II) : 0 (car le 2^{ème} contour n'enferme pas le pôle)

On voit ainsi que le fait de remplacer ω_0 par $\omega_0 + i\epsilon$ (établissement adiabatique des sources) revient à supprimer toute onde entrante dans la solution asymptotique.

- Contribution du chemin vertical (ordre de grandeur). On pose $y = J_m k$.

$$\sim \int_0^{\infty} y \, dy \, \delta_{JM}^e(0) \frac{e^{-y r}}{k_0^2} = \frac{\delta_{JM}^e(0)}{k_0^2 r^2} \int_0^{\infty} e^{-u} u \, du \quad (VI-34)$$

Pour $k_0 r \gg 1$, contribution négligeable devant celle du pole.

Conclusions

- Pour $k_0 r \gg 1$, la contribution du terme $\beta_{JM}^e(k) \vec{X}_{JM}(\vec{n})$ au champ $\vec{B}(\vec{r}, t)$ de l'onde créée par les sources s'écrit donc :

$$\frac{1}{2r} e^{i(k_0 r - \omega_0 t)} \vec{X}_{JM}(\vec{p}) \delta_{JM}^e(k_0) + c.c. \quad (VI-35)$$

On reconnaît le champ magnétique d'une onde multipolaire électrique libre sortante, d'amplitude $\delta_{JM}^e(k_0)$.

- Un calcul analogue pour $\beta_{JM}^m(k) \vec{Z}_{JM}(\vec{n})$ conduit au champ magnétique d'une onde multipolaire magnétique libre sortante d'amplitude $\delta_{JM}^m(k_0)$

$$\frac{1}{2r} e^{i(k_0 r - \omega_0 t)} \vec{Z}_{JM}(\vec{p}) \delta_{JM}^m(k_0) + c.c. \quad (VI-36)$$

- Calculs analogues sur les équations donnant \vec{E} . On trouve les champs électriques correspondant à (VI-35) et (VI-36). (On utilise (VI-20) avec $k = k_0$).

- On voit ainsi que les sources rayonnent au loin une série d'ondes multipolaires électriques et magnétiques, le coefficient l'amplitude de chacune de ces ondes étant $\delta_{JM}^e(k_0)$ et $\delta_{JM}^m(k_0)$. Ces coefficients, caractéristiques des sources, et indiquant leur aptitude à rayonner des ondes multipolaires électriques et magnétiques, sont appelés respectivement "moments multipolaires électriques et magnétiques" de ces sources.

④ Moments multipolaires électriques

(i) Première expression en fonction de $\vec{J}(\vec{r}, t)$

On peut écrire : $\delta_{JM}^e(k_0) = \int d^3k \, \delta(k - k_0) \delta_{JM}^e(k)$ (VI-37)

c-à-d d'après (VI-23) et (VI-15) :

$$\delta_{JM}^e(k_0) = - \frac{\mu_0}{k_0^2} \int d^3k \, \delta(k - k_0) \vec{X}_{JM}^*(\vec{n}) \cdot (i\vec{k} \times \vec{J}) \quad (VI-38)$$

L'intégrale peut être considérée comme le produit scalaire dans l'espace des \vec{k} de $\delta(k - k_0) \vec{X}_{JM}^*(\vec{n})$ par $i\vec{k} \times \vec{J}$. En utilisant l'égalité de Parseval-Plancherel et l'équation (IV-14), on obtient :

$$\delta_{JM}^e(k_0) = - \frac{\mu_0}{2\pi^2} (i)^J \int d^3r \, j_J(k_0 r) \vec{X}_{JM}^*(\vec{p}) \cdot \vec{\nabla} \times \vec{J}^{(+)}(\vec{r}) \quad (VI-39)$$

(ii) Autre expression équivalente

On peut, en utilisant les propriétés du produit mixte, réécrire (VI-38) sous la forme :

$$\delta_{JM}^e(k_0) = - \frac{\mu_0}{k_0^2} \int d^3k \, \delta(k - k_0) \underbrace{(\vec{X}_{JM}^*(\vec{n}) \times i\vec{k})}_{= -k \vec{Z}_{JM}^*(\vec{n})} \cdot \vec{J} \quad (VI-40)$$

ce qui donne :

$$\delta_{JM}^e(k_0) = \frac{\mu_0}{k_0} \int d^3k \, \delta(k - k_0) \vec{Z}_{JM}^*(\vec{n}) \cdot \vec{J} \quad (VI-41)$$

(iii) Limite des grandes longueurs d'onde (grandes devant les dimensions des sources)

On peut toujours ajouter à (VI-41) la quantité :

$$\frac{M_0}{k_0} \int d^3k \delta(k-k_0) C Y_J^{M*}(\vec{n}) \frac{1}{k_0} (\vec{k} \cdot \vec{J} - \omega_0 \rho) \quad (VI-42)$$

qui est nulle d'après VI-14 (C est une constante arbitraire). On obtient alors

$$\delta_{JM}^e(k_0) = \frac{M_0}{k_0} \int d^3k \delta(k-k_0) \left\{ [\vec{Z}_{JM}^*(\vec{n}) + C \vec{N}_{JM}^*(\vec{n})] \cdot \vec{J} - c C Y_J^{M*}(\vec{n}) \rho(\vec{k}) \right\} \quad (VI-43)$$

Choisissons C de manière que le terme en $j_{J-1}(k_0 r)$ auquel donne naissance la transformée de Fourier de $\vec{Z}^* + C \vec{N}^*$ soit nul. Lorsqu'on passe dans l'espace des \vec{r} , le terme en $\vec{p}(\vec{r})$ est prépondérant devant celui en $\vec{J}(\vec{r})$ [Il varie en $(k_0 r)^J$ alors que le second varie en $(k_0 r)^{J+1}$]. On trouve alors que

$$\delta_{JM}^e(k_0) \text{ proportionnel à } \int d^3r \rho^{(+)}(\vec{r}) r^J Y_J^{M*}(\vec{p}) \quad (VI-44)$$

On retrouve bien l'expression du moment multipolaire électrique d'une distribution de charges statique.

② Moments multipolaires magnétiques.

(i) Expression en fonction de $\vec{J}(\vec{r}, t)$

$$\begin{aligned} \delta_{JM}^m(k_0) &= \int dk_0 \delta(k-k_0) \delta_{JM}^m(k) \\ &= -\frac{M_0}{k_0^2} \int d^3k \delta(k-k_0) \vec{Z}_{JM}^*(\vec{n}) \cdot i\vec{k} \times \vec{J} \\ &= +\frac{M_0}{k_0^2} \int d^3k \delta(k-k_0) [i\vec{h} \times \vec{Z}_{JM}^*(\vec{n})] \cdot \vec{J} \\ &= \frac{M_0}{k_0} \int d^3k \delta(k-k_0) \vec{X}_{JM}^*(\vec{n}) \cdot \vec{J} \end{aligned} \quad (VI-45)$$

On a utilisé (VI-24), les propriétés du produit mixte, et (III-47).

En utilisant l'égalité de Parseval-Plancherel et l'équation IV-14, on obtient :

$$\delta_{JM}^m(k_0) = \frac{M_0 k_0}{2\pi^2} (i)^J \int d^3r j_J(k_0 r) \vec{X}_{JM}^*(\vec{p}) \cdot \vec{J}^{(+)}(\vec{r}) \quad (VI-46)$$

Or, d'après (III-37),

$$\vec{X}_{JM}^*(\vec{p}) = \frac{i\vec{h}}{\hbar \sqrt{J(J+1)}} (\vec{r} \times \vec{\nabla} Y_J^{M*}(\vec{p})) \quad (VI-47)$$

En reportant dans (VI-46) et en utilisant les propriétés du produit mixte :

$$\delta_{JM}^m(k_0) = -\frac{M_0 k_0}{2\pi^2} \frac{(i)^{J+1}}{\sqrt{J(J+1)}} \int (\vec{\nabla} Y_J^{M*}(\vec{p})) \cdot (\vec{r} \times \vec{J}^{(+)}) j_J(k_0 r) d^3r \quad (VI-48)$$

Par ailleurs :

$$j_J(k_0 r) [\vec{\nabla} Y_J^{M*}(\vec{p})] = \vec{\nabla} [j_J(k_0 r) Y_J^{M*}(\vec{p})] - Y_J^{M*}(\vec{p}) \vec{\nabla} j_J(k_0 r) \quad (VI-49)$$

En reportant dans (VI-48), et en remarquant que $\vec{\nabla} j_J(k_0 r)$, qui est $\parallel \vec{n} \vec{p}$, a un produit scalaire nul avec $\vec{r} \times \vec{J}^{(+)}$, on obtient finalement :

$$\delta_{JM}^m(k_0) = -\frac{M_0 k_0}{2\pi^2} \frac{(i)^{J+1}}{\sqrt{J(J+1)}} \int d^3r [\vec{\nabla} j_J(k_0 r) Y_J^{M*}(\vec{p})] \cdot [\vec{r} \times \vec{J}^{(+)}(\vec{r})] \quad (VI-50)$$

(ii) Limite des grandes longueurs d'onde.

$$\delta_{JM}^m(k_0) \sim \int d^3r [\vec{\nabla} r^J Y_J^{M*}(\vec{p})] \cdot [\vec{r} \times \vec{J}^{(+)}(\vec{r})] \quad (VI-51)$$

Cas particulier $J=1$ (Moment dipolaire magnétique). On reconnaît les composantes sphériques de

$$\int d^3r \vec{r} \times \vec{J}^{(+)}(\vec{r}) = \int d^3r \vec{r} \times \vec{J}_c^{(+)}(\vec{r}) + \int d^3r \vec{r} \times (\vec{\nabla} \times \vec{M}^{(+)}(\vec{r})) \quad (VI-52)$$